

PUC-RJ Pontifícia Universidade Católica do Rio de Janeiro  
MEC 2403 - Otimização e Algoritmos para Engenharia Mecânica  
Trabalho 01 - Otimização sem Restrições  
Professor: Ivan Menezes

Felipe da Costa Pereira - mat. 2212376  
felipecostapereira@gmail.com

8 de outubro de 2022

## 1 Introdução

Otimização sem restrição (OSR) consiste em encontrar o mínimo de uma função  $f(\vec{x})$  onde não há restrição em relação ao domínio das variáveis  $\vec{x}$ . A fim de se encontrar o mínimo da função  $f(\vec{x})$  a partir de um ponto de partida ( $\vec{x}_0$ ), os métodos apresentados nesse trabalho consistem na repetição de duas etapas principais até que um critério de parada seja atingido:

1. Selecionar uma direção  $\vec{d}$  a partir do ponto  $\vec{x}_0$
2. Encontrar o mínimo da função  $f$  nessa direção, chegando a um novo ponto  $\vec{x}_1 = \vec{x}_0 + \alpha \vec{d}$ , onde  $\alpha$  é um número real.
3. Tomar  $\vec{x}_1$  como o novo ponto de partida  $\vec{x}_0$
4. Repetir os passos de 1 a 3 até que uma condição de parada seja atingida: mínimo encontrado ( $|\vec{\nabla} f| = 0$ ), ou máximo número de iterações atingido.

Dessa forma o problema de minimização da função  $f(\vec{x})$  se torna um problema de sucessivas determinações de direções de busca e suas respectivas buscas lineares nessas direções.

## 2 Objetivos

Os principais objetivos deste trabalho são:

- Implementar numericamente os algoritmos de otimização: Univariate, Powell, Steepest Descent, Fletcher-Reeves, Newton-Raphson e BFGS.
- Avaliar a influência dos parâmetros dos algoritmos nas métricas de convergência e comparar essas últimas com os valores esperados da teoria.
- Aplicar os algoritmos implementados na solução do problema de OSR em três casos: uma função quadrática, uma não quadrática e uma terceira função que representa um problema de engenharia (minimização da energia de um sistema massa-mola visando encontrar seu ponto de equilíbrio estático)

## 3 Algoritmos de Busca Linear

### 3.1 Passo Constante

### 3.2 Bisseção

### 3.3 Seção Áurea

## 4 Algoritmos de direção

### 4.1 Univariante

### 4.2 Powell

### 4.3 Steepest Descent

### 4.4 Fletcher-Reeves

### 4.5 Newton-Raphson

### 4.6 BFGS

## 5 Metodologia

Para atingir os objetivos do trabalho, foram programados scripts em linguagem Matlab, organizados conforme esquematizado na figura 1.

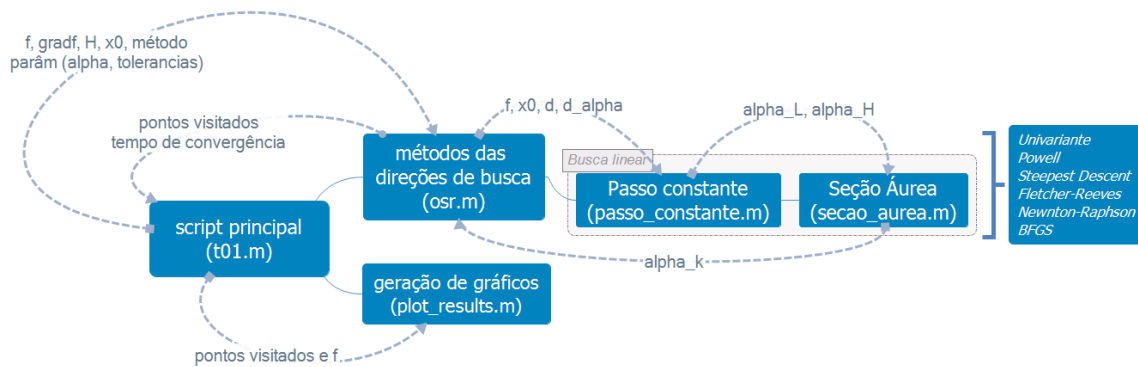


Figura 1: Fluxo dos scripts

Um script principal *t01.m* escolhe os parâmetros do algoritmo:  $\alpha$  da busca linear, máximo número de iterações e tolerâncias para avaliar a convergência. Além disso esse script cria as funções, seus gradientes, matriz Hessiana e pontos iniciais, a serem passados como parâmetros para o script que implementa os algoritmos, conforme ilustrado na listagem 1

Listing 1: script *t01.m* setando parâmetros e criando as funções

```
% dados do item 01a, f, grad f, hess f e x0
fa = @(x) x(1)^2-3*x(1)*x(2)+4*x(2)^2+x(1)-x(2);
gfa = @(x) [2*x(1)-3*x(2)+1; -3*x(1)+8*x(2)-1];
Ha = @(x) [2 -3;-3 8];
x01 = [2;2];
x02 = [-1;-3];

% parametros dos algoritmos
iter_max = 100;
a = 0.002; % passo
TOL = 1e-4; % parada do gradiente
TOL2 = 1e-7; % busca linear

methods = ["Univariante", "Powell", "Steepest Descent", "Fletcher Reeves", "Newton-Raphson", "BFGS"];
```

Em seguida, o script *t01.m* chama o script *osr.m* para cada método e plota as curvas de nível da função *f* e todos os pontos visitados durante a busca do algoritmo, através do script *plot\_result.m* (listagem 2)

**Listing 2:** script t01.m chamando o script osr.m para a função do item 1a para cada um dos 6 métodos estudados.

```
fprintf('\n*****_ITEM_01A_*****\n');
for method = 1:6
    fprintf('---%s---\n', methods(method));

    fprintf('x0=[%2d,%2d]:-',x01(1), x01(2));
    [x_1,t] = osr(fa, gfa, Ha, x01, method, iter_max, a, TOL, TOL2);
    fprintf(' (%.1fms), _xmin=[%0.4f,%0.4f], _f=%0.4f\n', t*1000, x_1(1,end), x_1(2,end), fa(x_1(:,end)));

    fprintf('x0=[%2d,%2d]:-',x02(1), x02(2));
    [x_2,t] = osr(fa, gfa, Ha, x02, method, iter_max, a, TOL, TOL2);
    fprintf(' (%.1fms), _xmin=[%0.4f,%0.4f], _f=%0.4f\n', t*1000, x_2(1,end), x_2(2,end), fa(x_2(:,end)));

    plot_result(min([x_1(1,:), x_2(1,:)])-dx,max([x_1(1,:), x_2(1,:)])+dx,min([x_1(2,:), x_2(2,:)])-dx,max([x_1(2,:), x_2(2,:)])+dx, x_1, x_2, methods(method), 1)
    exportgraphics(gcf, strcat('.', figures/img01A_m0', num2str(method), '.png'), 'Resolution', 500)
end
```

O script *osr.m* implementa de fato os algoritmos, recebe, retorna

**Listing 3:** script osr.m implementando o método de Powell

```
function [x_,time-elap] = osr(f, gf, H, x0, method, iter_max, a, TOL, TOL2)
% 1. Univariate
% 2. Powell
% 3. Steepest Descent
% 4. Fletcher-Reeves
% 5. Newton-Raphson
% 6. BFGS

k=0;
conv=0; %flag convergencia
tstart = tic;
switch method
case 2
    % 2. Powell
    x_ = x0;
    x = x0;
    while k < iter_max
        j = 1;
        n = 2;
        y = [[1;0],[0;1]];
        while j <= n
            [alpha_L, alpha_H] = passo_constante(f, x, y(:,1), a);
            alpha_k = secacao_aurea(f, x, y(:,1), TOL2, alpha_L, alpha_H);
            k=k+1;
            x = x + alpha_k*y(:,1);
            x_ = [x_,x];
            [alpha_L, alpha_H] = passo_constante(f, x, y(:,2), a);
            alpha_k = secacao_aurea(f, x, y(:,2), TOL2, alpha_L, alpha_H);
            k=k+1;
            x = x + alpha_k*y(:,2);
            x_ = [x_,x];
            d = x-x0;
            [alpha_L, alpha_H] = passo_constante(f, x, d, a);
            alpha_k = secacao_aurea(f, x, d, TOL2, alpha_L, alpha_H);
            k=k+1;
            x0 = x + alpha_k*d;
            x=x0;
            x_ = [x_,x];

            y(:,1) = y(:,2);
            y(:,2) = d;

            j = j+1;
        end
        if norm(gf(x)) < TOL
            fprintf('%d_steps!', k);
            conv=1;
            break;
        end
    end
    if conv == 0
        fprintf('Nao convergiu apos %d_steps', k);
    end
end
```

## 6 Resultados

## 7 Conclusões

In order to use the Tustin model for the friction force as proposed, the torque expression changes from equation 1 to equation 2 described below:

Torque expression using Coulomb friction force model:

$$\tau(t) = M\ddot{q}(t) + F_v\dot{q}(t) + F_c\text{sign}(\dot{q}(t)) + offset \quad (1)$$

Torque expression using Tustin friction force model:

$$\tau(t) = M\ddot{q}(t) + F_v\dot{q}(t) + F_c\text{sign}(\dot{q}(t)) + (F_s - F_c)e^{-\frac{|\dot{q}|}{v_s}} + offset \quad (2)$$

Parameters and  $\dot{x}_2 = \ddot{q}$  expresion on the state vector:

The range for the  $v_s$  parameter was based on the respective value given by the IDIM model ( $v_s = 0.006464$ ). The rest of the code is kept exactly the same.

## 8 Results

After performing the grey box identification using the casadi library, we compare the parameters values estimated by the inverse dynamic model (IDM) and the grey box casadi model. The values of the estimated parameters, for both the Coulomb and the Tustin friction forces are shown in tables 1 and 2.

**Tabela 1:** Coulomb Model parameters

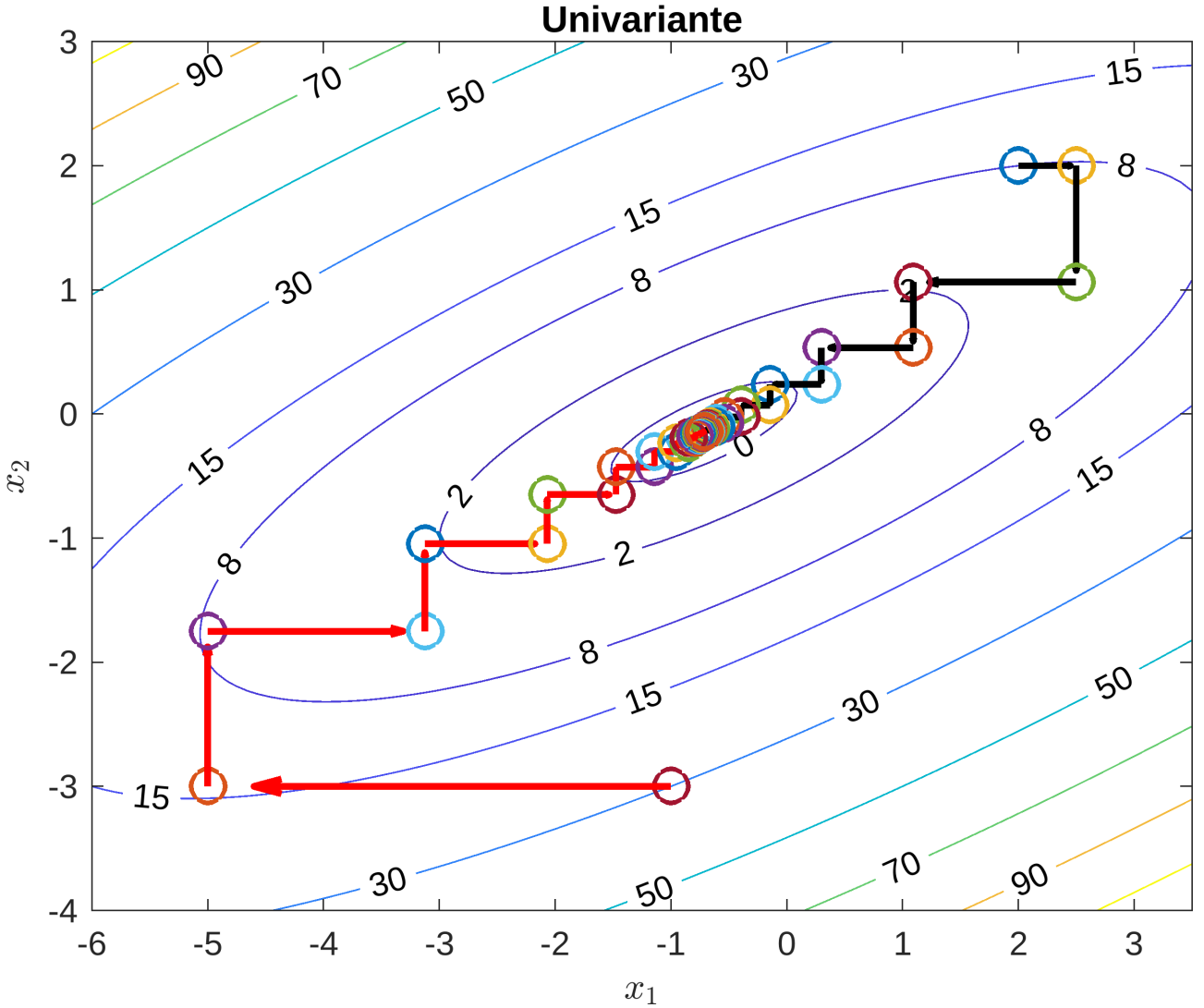
Model	M	Fv	Fc	ofst
casadi	95.1089	203.5034	20.3935	-3.1648
IDIM	96.0014	213.8943	19.4167	-3.2790

**Tabela 2:** Tustin Model parameters

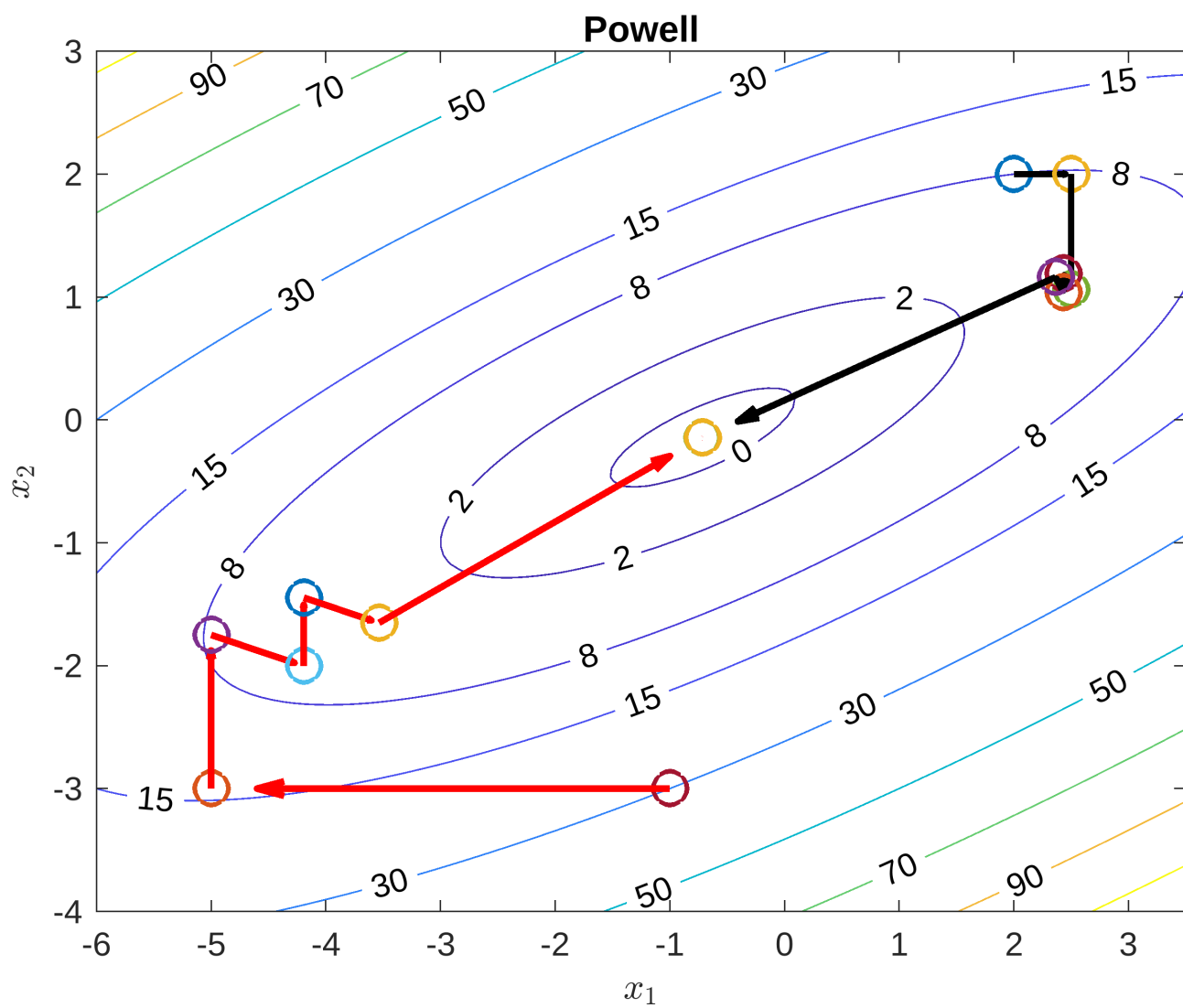
Model	M	Fv	Fc	Fs	vs	ofst
casadi	97.001	222.01	18.606	36.3311	0.000900	-3.29
IDIM	95.681	203.36	17.023	17.0230	0.006464	-4.12

The simulated responses and the associated errors, for both force models (Coulomb and Tustin) and parameters estimation methods (casadi and IDIM) are shown in figures 2 and 3.

As we can notice, casadi models estimate have a good fit for both force models, while IDIM models have a poor performance (higher error) when estimating the Tustin force model parameters.



**Figure 2:** Position (y) - real and estimated dsata



**Figure 3:** Error between estimated and real data